

(455)

ボイラー用焼ならし高強度鋼板の開発

耐 S R ワレ特性の優れた極厚 B S 1 5 0 1 - 2 7 1 B 鋼板

住友金属工業(株) 和歌山製鉄所 丸山嘉一郎 ○中村剛 斎藤康行
中央技術研究所 渡辺征一 大阪本社 三浦一良

1 緒言 近年圧力容器の薄肉化を目的として欧洲系の降伏点設計用高降伏点鋼が注目されている。B S 1 5 0 1 - 2 7 1 B はボイラー用高降伏点鋼であるが、今回製造の機会を得、S R ワレを考慮して V を低目に抑え、かつ施工において熱間加工後加速冷却することなく焼ならしによって S R 後の強度・韌性の確保が可能な極厚鋼板(板厚 150mm)を製造したので報告する。

2 実験・製造内容 高周波炉溶製の 100kg 鋼塊にて 1) ベース成分、2) 焼ならし冷却速度の効果、3) S R 条件について検討した後、25Ton E F により板厚 150mm の鋼板を製造した。

3 結果

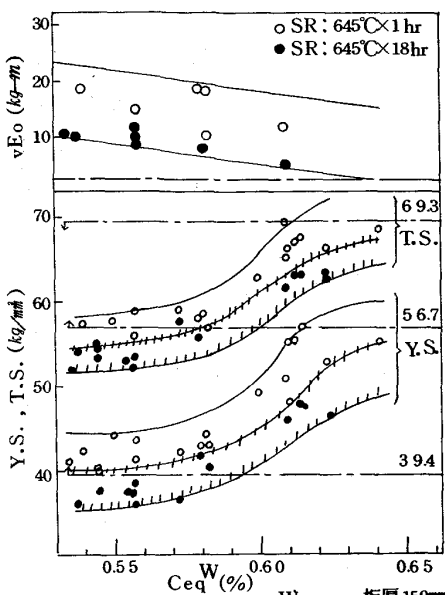
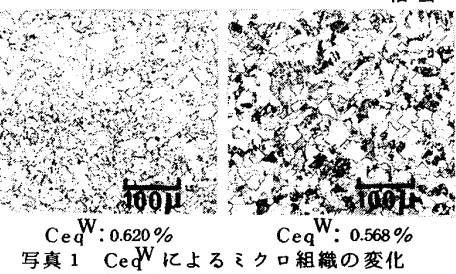
1) 成分検討 図 1 に V 量を規格下限値に抑えた成分系における強度・韌性におよぼす C_{eq}^W の影響の検討結果を示す。この図より、 $C_{eq}^W 0.60\%$ を境に Y.S., T.S. が急激に向上することがわかる。これはミクロ組織のフェライト-ベイナイト組織からベイナイト-一相組織への変化に対応している。(写真 1) 本鋼種において S R 後に強度・韌性の規格を満足するためにはベイナイト-一相組織にすることが必須であり、したがって $C_{eq}^W 0.60\%$ 以上必要である。成分規格の上限 C_{eq} が 0.673%あることを考えると厳格な成分管理が重要である。

またベイナイト-一相組織において 2 回焼ならし処理することにより組織が微細化され、韌性の向上が認められた。このことより実際の機器の製造では鋼板における焼ならしおよび施工における熱間加工後の焼ならしの 2 回焼ならしを行うことになるので、本試験結果より良好な韌性が得られると考えられる。

2) 試作材の性能 試作材(板厚 150mm)の性能は表 1 に示す通りであり、 $C_{eq}^W 0.627\%$ にて長時間 S R 後においても十分な強度・韌性が得られた。高温強度も余裕をもって規格を満足した。溶接性については斜め Y 開先拘束ワレ試験によるワレ停止予熱温度が 150°C と良好である。また本鋼種は S R ワレ感受性が問題とされるが、図 2 に示すように歪付加ビードによる試験にて S R ワレは全く発生しなかった。溶接継手の強度・韌性は良好であり、曲げについても全く問題はなかった。

表 1 試作材の性能(板厚 150mm, t/4, L 方向)

| 化 学 成 分 (%) | | | | | | | | | | 常温 強度 | | 衝撃 性能 | | SR 後の性能(645°C×18hr) | | 溶接継手性能(SR: 645°C×18hr) | | | | | | | |
|-------------|------|------|-------|-------|------|------|------|------|------|-------|------------|-------|-------------------------------|---------------------|---------------|------------------------|-------------------------------|-------------------------------|---------------|-------------------------------|-------|------|--------|
| C | Si | Mn | P | S | Cu | Ni | Cr | Mo | V | Sol | C_{eq}^W | PCM | Y.S. (kg/mm ²) | T.S. (kg-mm) | vEo (kg-m) | vTrs (°C) | Y.S. (kg/mm ²) | T.S. (kg/mm ²) | vEo (kg-m) | T.S. (kg/mm ²) | Depo. | Bond | H.A.Z. |
| 0.16 | 0.35 | 1.43 | 0.008 | 0.003 | 0.24 | 0.65 | 0.65 | 0.26 | 0.04 | 0.027 | 0.627 | 0.320 | 5.39 | 66.0 | 15.5 | -10 | 48.9 | 63.1 | 6.2 | 59.2 | 7.0 | 4.0 | 12.6 |

図 1 強度・韌性におよぼす C_{eq}^W の影響(板厚 150mm)写真 1 C_{eq}^W によるミクロ組織の変化

| 歪付加ビード数 | 表面ワレ率(%) | | 断面ワレ率(%) | |
|---------|----------|-----------|----------|---------|
| | 試験ビード溶接後 | 歪付加ビード溶接後 | S R 後 | (5断面平均) |
| 40 パス | 0 | 0 | 0 | 0 |
| 80 パス | 0 | 0 | 0 | 0 |

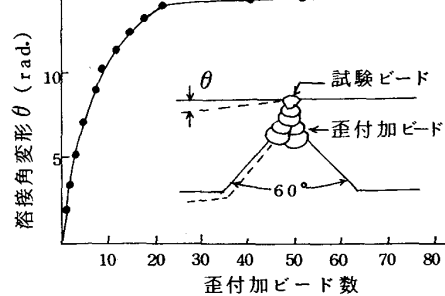


図 2 S R ワレ試験結果